

تأثیر گسل‌های راندگی سطحی و ژرفایی بر هندسه ساختاری تاقدیس قلاچه، لرستان، باختز آگرس

رضا علیپور^{*}، علی جهانگیری^۱ و زهرا قاسمی^۱

اکبرو زمین‌شناسی، دانشکده علوم، دانشگاه بولعلی سینا، همدان، ایران

چکیده

تاقدیس قلاچه با طول حدود ۶۰ کیلومتر و راستای شمال باختزی-جنوب خاوری در شمال پهنه ساختاری لرستان و باختز کمربند چین خوردۀ راندۀ زاگرس واقع شده است. هندسه و ساختارهای چین خوردۀ در این پهنه توسط گسل‌های راندگی و سطوح جدایشی کنترل می‌شود. در این پژوهش برای تحلیل هندسی تاقدیس قلاچه با استفاده از اطلاعات چاهها و رسم سه نیم‌رخ ساختاری عمود بر محور تاقدیس، محاسبه پارامترهای هندسی، به بررسی هندسه و تحلیل سبک دگریختی تاقدیس و نقش سطوح جداشی بر سبک چین خوردگی آن پرداخته شده است. ساختار این تاقدیس تحت تأثیر دو سطح جدایش بالایی (سازند پایده) و میانی (سازنده‌گرو) قرار گرفته است. سطوح جدایشی و راندگی‌های ژرفایی و سطحی در بال جنوب باختزی تأثیر زیادی بر هندسه چین خوردگی ایجاد کرده‌اند که باعث ستبر شدن سطح جدایش می‌اند و برگشته شدن یال جنوبی در بخش جنوب باختزی تاقدیس شده‌اند. در بخش‌های مرکزی و شمال باختزی تاقدیس برگشته‌گی کمتر شده و لایه‌ها به حالت عادی تبدیل شده‌اند که این تغییر شیب لایه‌بندی با شکستگی‌های زیادی همراه است. تجزیه و تحلیل مشخصه‌های هندسی تاقدیس قلاچه نشان می‌دهد که این تاقدیس یک چین نامتقارن و استوانه‌ای و از نظر فشردگی باز و از نظر کندی چین در رده نیمه‌زاویه‌دار قرار دارد.

اطلاعات مقاله

تاریخچه مقاله:

تاریخ دریافت: ۱۴۰۰/۱۰/۰۷

تاریخ پذیرش: ۱۴۰۰/۱۲/۰۷

تاریخ انتشار: ۱۴۰۱/۱۰/۰۱

کلیدواژه‌ها:

چین خوردگی

جدایش

نیم‌رخ ساختاری

گرو

راندگی

۱- پیش‌نوشتار

بوده است. بنابراین هدف از این پژوهش تأثیر گسل‌های راندگی در ژرفایی و سطح و چین خوردگی در زیرپهنه لرستان بر هندسه ساختاری تاقدیس قلاچه است.

۲- جایگاه زمین‌شناسی و چینه‌شناسی گسترده مورد مطالعه
کمربند چین خوردۀ راندۀ زاگرس به عنوان بخشی از کمربند کوهزایی آلب-هیمالیا، یکی از جوان‌ترین و فعال‌ترین مناطق برخورد قاره‌ای در روی زمین است (Hemal et al., 2004; Farzipour-Saein et al., 2009) و شامل توالی از پوشش رسوبی به سمت‌های ۷-۱۲ کیلومتر با ترکیبی از لایه‌های مقاوم و نامقاوم می‌باشد که بر روی پی‌سنگ زاگرس نهشته است (Allen and Talebian, 2011). از نظر تنوع رخدادهای این کمربند را به واحدهای زمین‌ساختی-چینه‌ای از شمال باختز به جنوب خاور به پنج زیرپهنه شامل زیرپهنه لرستان، زیرپهنه ایذه، فروافتادگی دزفول، زیرپهنه فارس و زاگرس مرتفع تقسیم‌بندی شده است (Sherkati et al., 2006). زیرپهنه لرستان برپایه ویژگی‌های زمین‌ساخت-چینه‌ای در راستای جنوب باختز-شمال خاوری به ۳ بخش جنوب باختزی، مرکزی و شمال خاوری تقسیم شده است (Hessami et al., 2001; Blanc et al., 2003) (شکل ۱-a). تاقدیس قلاچه با روند شمال باختز-جنوب خاور یکی از ساختارهای فعل زمین‌ساختی در زیرپهنه لرستان و

کمربند چین خوردۀ راندۀ زاگرس به دلیل بسته شدن اقیانوس تیتانیک جوان و برخورد صفحه‌های اوراسیا و عربی در اوخر کرتاسه تا ستوزیک تشکیل شده است (Alavi, 2007; Sarkarinejad et al., 2008; McQuarrie and Van Hansberger, 2013; Vernant et al., 2004; Mouthereau et al., 2012; Faghih et al., 2012) نظر ساختاری شامل تاقدیس‌ها، ناویدیس‌ها، گسل‌های راندگی و چین‌های در ارتباط با آنها می‌باشد که بیشتر این ساختارها دارای روند شمال باختزی-جنوب خاوری و موازی با یکدیگر می‌باشند (Berberian, 1995) در کمربند زاگرس وجود سطوح جدایش متعدد و گسل‌شی راندگی طی مراحل مختلف دگرگشکی پیشرونده، هندسه چینه‌ای مرتبه با گسل را پیچیده کرده‌اند (McQuarrie, 2004). بیشتر گسل‌های راندگی در یال جنوب باختزی چین‌ها واقع شده‌اند و عموماً باعث دگریختی و رخدادهای لرزه‌ای در کمربند چین خوردۀ راندۀ زاگرس شده‌اند. زلزله ۱۲ نوامبر ۲۰۱۷ از گله-سرپل ذهاب با بزرگای ۷/۳ ریشتر یکی از بزرگترین حوادث لرزه‌ای ثبت شده در این کمربند است که مسبب آن گسل راندگی و بی‌سنگی جبهه کوه‌هستان بوده است (Tavani et al., 2018). در تحقیقات اخیر که راجع به ساختار کلی و چین خوردگی‌های زیرپهنه لرستان انجام شده است عموماً معطوف به گسل‌شی راندگی و تغییرات سطوح جدایشی و چین خوردگی‌های ناهمانگ

doi: 10.22071/GSJ.2022.317171.1961

dor: 20.1001.1.10237429.1401.32.4.6.2

This is an open access article under the by-nc/4.0/ License (<https://creativecommons.org/licenses/by-nc/4.0/>)

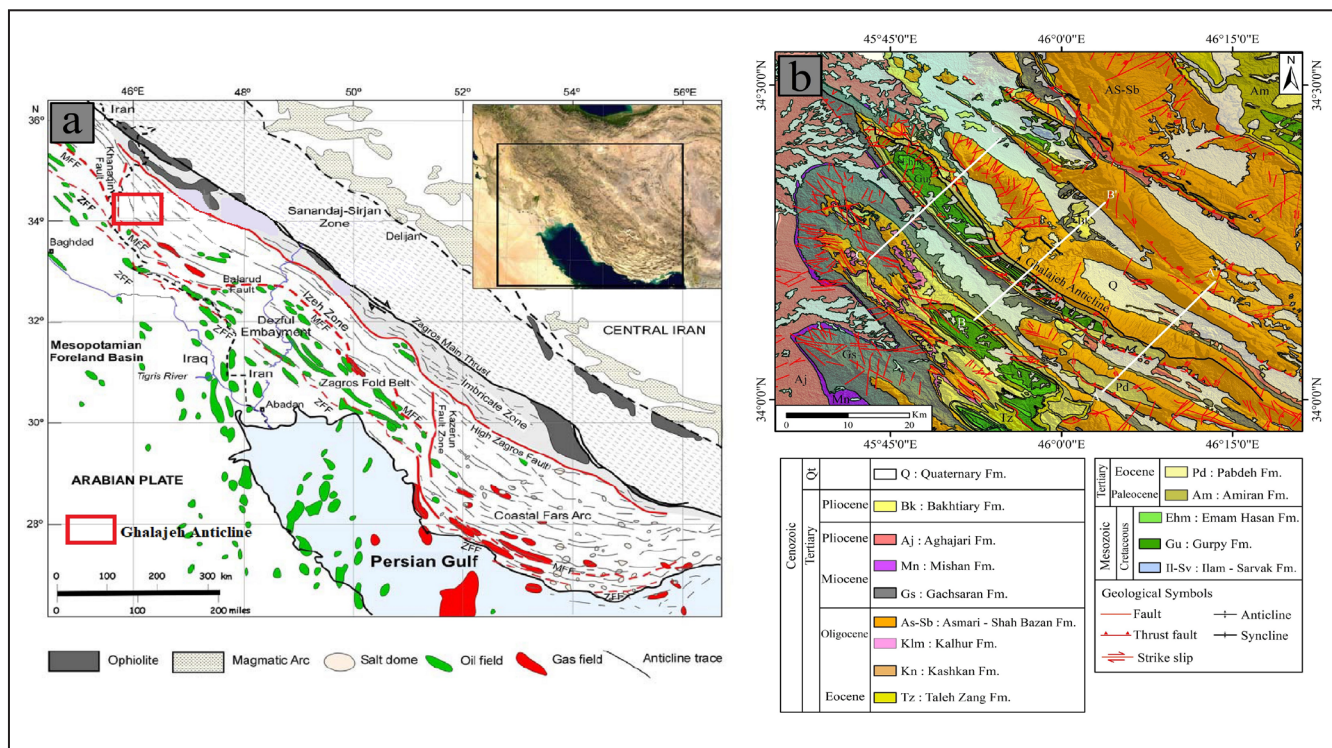
* نویسنده مسئول: رضا علیپور؛ E-mail: rezaalipoor116@gmail.com

حقوق معنوی مقاله برای فصلنامه علوم زمین و نویسنده‌گان مقاله محفوظ است.

چینه‌شناسی، گستره مورد مطالعه دارای سازندهای از کرتاسه تا پلیوسن است. به طور کلی بیشترین رخمنون در منطقه بررسی شده را سازنده آسماری-شهبانوی به سن الگومیوسن تشکیل می‌دهد که در زیر آن سازنده گچساران به سن میوسن و سازنده آغازاری به سن پلیوسن و روی آن سازنده پابده به سن ائوسن قرار دارد. سازنده گوربی که کهن‌ترین سازنده در محور تاقدیس قلاچه است. در گستره مورد مطالعه با توجه به شواهد گشلش سطحی و هندسه ساختاری چینه‌های شکل گرفته در زرفا و سطح، دو سطح جداشی^(۱) (سازنده پابده به عنوان سطح جداشی بالایی و^(۲) سازنده گرگو به عنوان سطح جداشی میانی) بر هندسه چین خوردگی تاقدیس سطحی و ژرفایی تأثیر گذاشته است.

در محدوده استان‌های کرمانشاه و ایلام واقع شده است. رخمنون سطحی این تاقدیس را بیشتر سازنده شیلی و قدیمی گوربی و پابده تشکیل داده و سازندهای آسماری-شهبانوی، گچساران در یال‌های آنها قرار دارند. با توجه به تصاویر استریوگرام تهیه شده، تاقدیس قلاچه یک تاقدیس نامتقارن و با تمایل به سمت جنوب-جنوب‌باخته است (شکل ۱-۱b).

ستون چینه‌شناسی گستره مورد مطالعه با استفاده از داده‌های موجود شامل نقشه‌ها و گزارش‌های چینه‌شناسی زاگرس رسم شده است (James and Wynd, 1965; Szabo and Kheradpir, 1978; Ghavidel - Syooki, 2001) (جدول ۱). از نظر



شکل ۱-۱(a) نقشه جایگاه ساختاری و زیرپهنه‌های زمین‌ساختی کمرنده رانده زاگرس در جنوب باخته ایران که چهارگوش قرمز رنگ موقعیت گستره مورد مطالعه را نشان می‌دهد (Homke et al., 2004) (b) نقشه زمین‌شناسی منطقه مورد مطالعه در زیرپهنه لرستان (James and Wynd, 1965).

جدول ۱-۱-ستون چینه‌شناسی منطقه مورد مطالعه در زیرپهنه لرستان (James and Wynd, 1965)

Strata			Formation	Thick (m)	Lithology	Structural role		
Era	System	Series						
Cenozoic	Tertiary	Pliocene	Quaternary Bakhtiary	150	Evaporate	Very weak layers		
		Pliocene	Aghajari	300				
		Miocene	Mishan	Limestone	Stiff layers			
			Gachsaran					
		Oligocene	Asmari-Shahbazan			350		
			Kalhor			250		
		Eocene	Talehzang					
		Paleocene	Pabdeh	1400	Shale, Marls Flysch	Weak layers		
			Amiran					

ادامه جدول ۱

Strata			Formation	Thick (m)	Lithology	Structural role
Era	System	Series				
Mesozoic	Cretaceous Ilam-Sarvak Garau		Emam Hasan Gurpi	700	Shale, Marls	Stiff layers
			1000	Limestone Shale, Marls		
			850	Evaporate	Weak layers	
	Jurassic		Khaneh-Kat	600	Limestone Shale, Marls	Stiff layers
	Triassic		Kazhdomi	300	Dolomite	
	Permian			650	Limestone	
Paleozoic	Carboniferous		Lower Paleozoic rocks	1300	Sandstone Limestone Shale	Weak layers
	Devonian					
	Silurian					
	Ordovician					
	Cambrian					
	Neoproterozoic		Pan-African basement			Very weak layers

۳- روش پژوهش

سطحی و همچنین سبک چین خوردگی در گستره مورد مطالعه تأثیر گذاشته اند. تبخیری‌ها و شیل‌های ژوراسیک (مانند سازند گرو) سطح جدایش میانی، مارن و شیل‌های اونسن (سازند پابده) نیز نقش سطح جدایش بالابی را بازی می‌کند. بنابراین برای بررسی دقیق هندسه سطحی و ژرفایی تاقدیس، نیمرخ ساختاری عرضی و عمود بر محور تاقدیس با روش کینک رسم شده است.

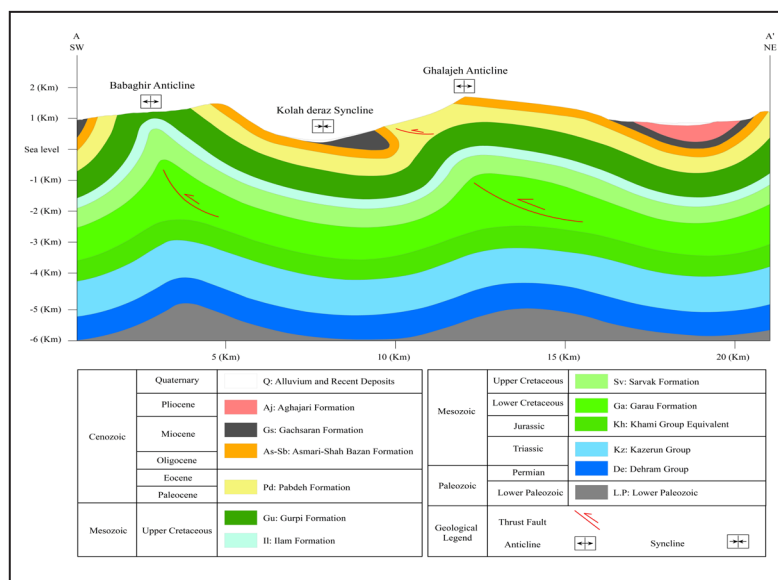
۴- نیمرخ' AA'

نیمرخ ساختاری AA' با درازای ۲۲ کیلومتر و با راستای شمال خاوری-جنوب باختری در بخش جنوب خاوری تاقدیس قلاچه و باباچر و ناویدیس کلاه دراز رسم شده است (شکل ۴). در امتداد این نیمرخ رخنمون سطحی تاقدیس باباچر سازند گورپی و تاقدیس قلاچه سازند پابده است (شکل ۳- b و c). جوان ترین رخنمون سطحی مربوط به سازند آغاجاری و گچساران در ناویدیس کلاه دراز است (شکل ۳- a و d). در امتداد این نیمرخ ساختاری به دلیل این که سازند پابده از واحدهای نامقاوم تشکیل شده به عنوان سطح جدایش بالابی در نظر گرفته شده است.

در این پژوهش به منظور بررسی شواهد سطحی و زیرسطحی، گسل‌های راندگی، سبک ساختاری، هندسه چین خوردگی و سطوح جدایشی در محدوده تاقدیس قلاچه از داده‌های سطحی و زیرسطحی استفاده شده است. اطلاعات پایه و سطحی در این پژوهش شامل نقشه‌های زمین‌شناسی، تصاویر ماهواره‌ای و نقشه‌های مدل ارتفاع رقومی (DEM) و همچنین اطلاعات ژرفایی چاهه‌ای حفاری شده است که برای رسم نیمرخ‌های عرضی ساختاری استفاده شده است. نیمرخ‌های عرضی رسم شده در راستای شمال خاوری- جنوب باختری گستره مورد مطالعه و در راستای عمود بر روند عمومی تاقدیس قلاچه و با درنظر گرفتن حفظ سترای لایه‌ها، همچنین برای بررسی دقیق‌تر ساختارها نیمرخ ساختاری با استفاده از روش کینک رسم شده و در نهایت از این نیمرخ‌ها برای بررسی هندسه ساختاری، سطوح جدایشی و سبک چین خوردگی استفاده شده است.

۵- نیمرخ‌های عرضی و هندسه ساختاری

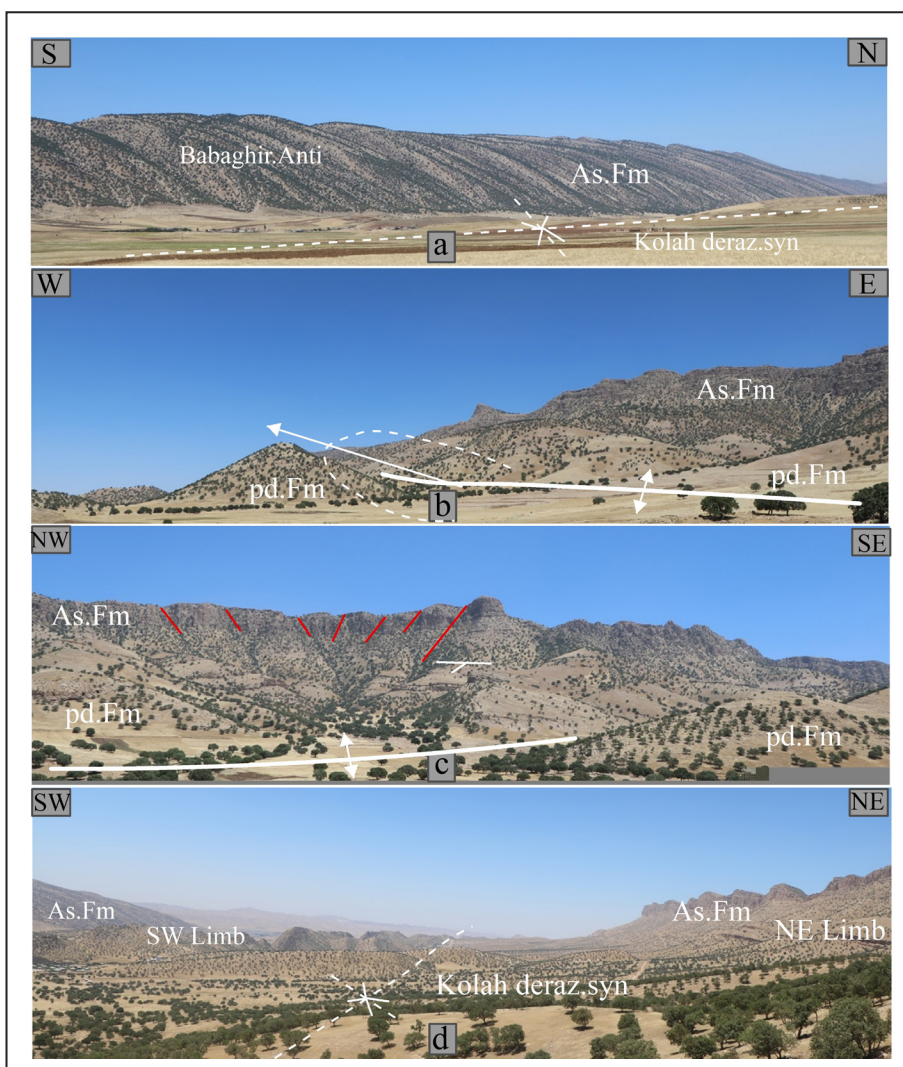
تاقدیس قلاچه با راستای شمال باختری- جنوب خاوری با درازای حدود ۷۰ کیلومتر در شمال زیرپهنه لرستان قرار دارد. سطوح جدایش میانی در تشکیل ساختارهای



شکل ۲- نیمرخ ساختاری 'AA که عمود بر روند تاقدیس‌های قلاچه و باباقیر و کلاه دراز رسم شده است.

راندگی‌های تشکیل شده در پوشش رسوبی به همراه سطوح جدایشی باعث دگریختی در ساختارهای چین خورده

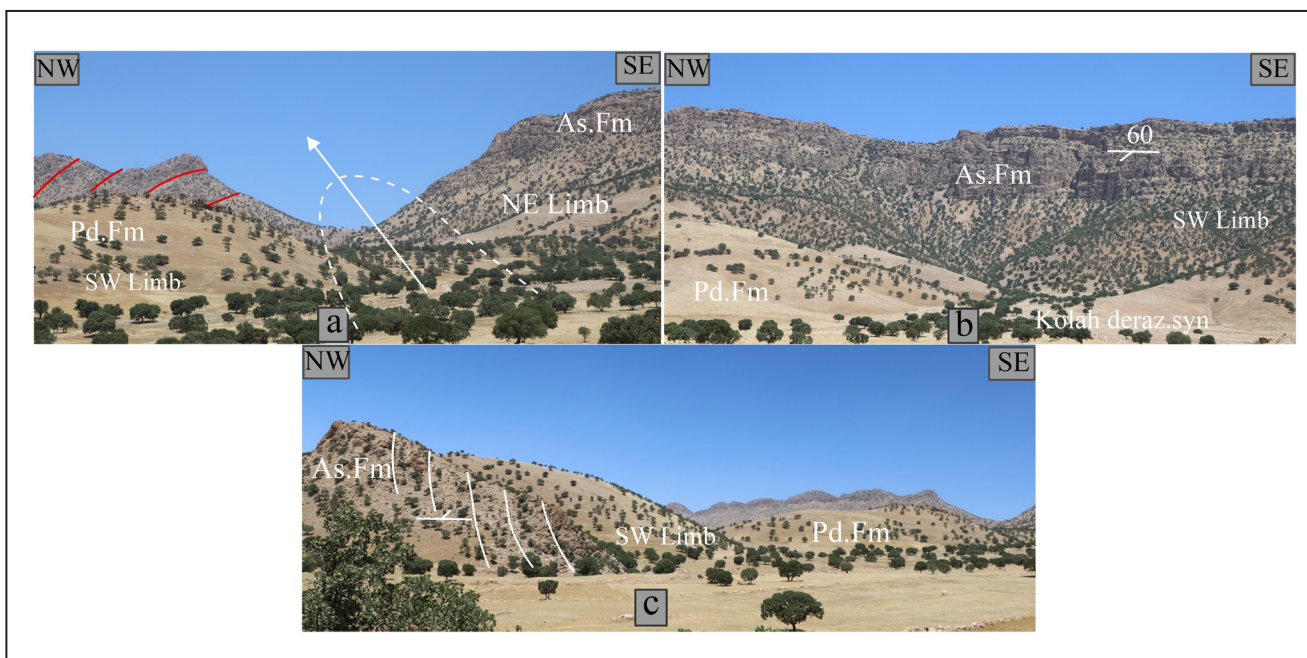
برگشته شدن یال جنوبی شده است.



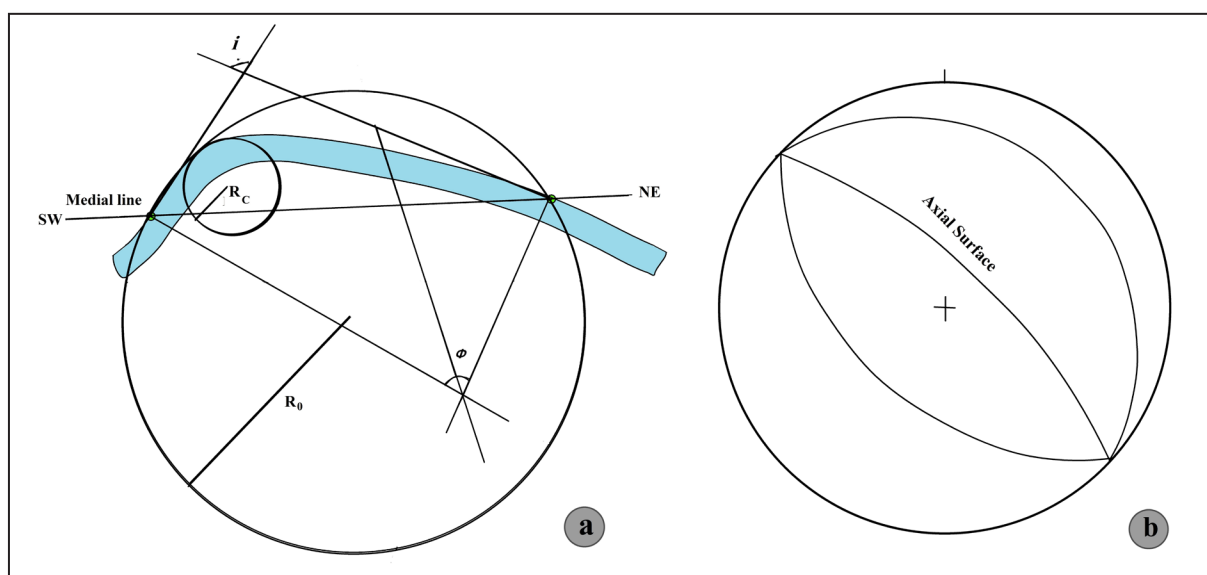
شکل ۳- (a) یال شمالی تاقدیس بباباقیر و رخمنون سازند آسماری؛ (b) محور تاقدیس قلاچه و رخمنون سازندهای آسماری و پایده در یال‌های تاقدیس؛ (c) هسته تاقدیس قلاچه و شکستگی‌های کششی عمود بر محور چین در سازند آسماری؛ (d) ناویدیس کلاه‌دراز در امتداد نیمرخ 'AA' و رخمنون یال جنوبی تاقدیس قلاچه و یال شمالی تاقدیس بباباقیر.

است. با توجه به پارامترهای هندسی و رسم استریوگرام چین، در امتداد این نیمرخ تاقدیس قلاچه دارای موقعیت محوری $133^{\circ}/0$ (میل اروند) و شیب سطح محوری $43^{\circ}/75$ (شیب/جهت شیب) است (شکل ۴ a و b). مقادیر به دست آمده برای زاویه بین یالی نشان می‌دهد که این تاقدیس از نظر فشردگی از نوع چین‌های باز است. محاسبات لازم برای به دست آوردن کنندی چین (Bluntness) در این نیمرخ ساختاری نشان می‌دهد که این نیمه زاویه‌دار قرار دارد. همچنین مقادیر به دست آمده برای نسبت ابعادی این نیمرخ $b<0/2$ و در رده نیمه زاویه‌دار قرار دارد. همچنین نشان‌دهنده عریض بودن چین است. همچنین مقدار کوتاه‌شدگی به دست آمده از این نیمرخ $6/25$ درصد است (جدول ۲).

راندگی کم ژرف بالایی با ریشه در این سطح جدایشی باعث دگریختی شده و همچنین لایه‌های شکل پذیر سازند پابده از رأس تاقدیس به سمت ناودیس‌های حاشیه‌ای حرکت کرده که سبب برگشته شدن یال جنوبی این تاقدیس در سطح (شکل ۴ a و c) شده است. راندگی‌های که از سطح جدایش میانی (سازند گرو) منتشر شده باعث دگریختی و سیرشدگی سطح جدایش میانی و تغییر ساختار تاقدیس قلاچه و باقی‌شده است. در این برش تاقدیس قلاچه به صورت چین جدایشی نامتناصر و بدون راندگی قابل ملاحظه در یال جنوبی است. تاقدیس قلاچه در قسمت هسته با هندسه شکستگی‌های کشی عمود بر محور چین در سازند آسماری (شکل ۳ c) و فعالیت راندگی در یال جنوبی گسترش یافته



شکل ۴- a) محور تاقدیس قلاچه، یال جنوبی و برگشته تاقدیس قلاچه با رخمنون سازند آسماری و پابده و ناودیس کلاه دراز در امتداد نیمرخ ساختاری' AA؛ b) یال شمالی تاقدیس قلاچه با رخمنون سازند آسماری و پابده و ناودیس کلاه دراز در امتداد نیمرخ ساختاری' AA؛ c) یال جنوبی تاقدیس قلاچه و لایه برگشته‌ای آسماری با شیب به سمت شمال خاور در امتداد نیمرخ ساختاری' AA.

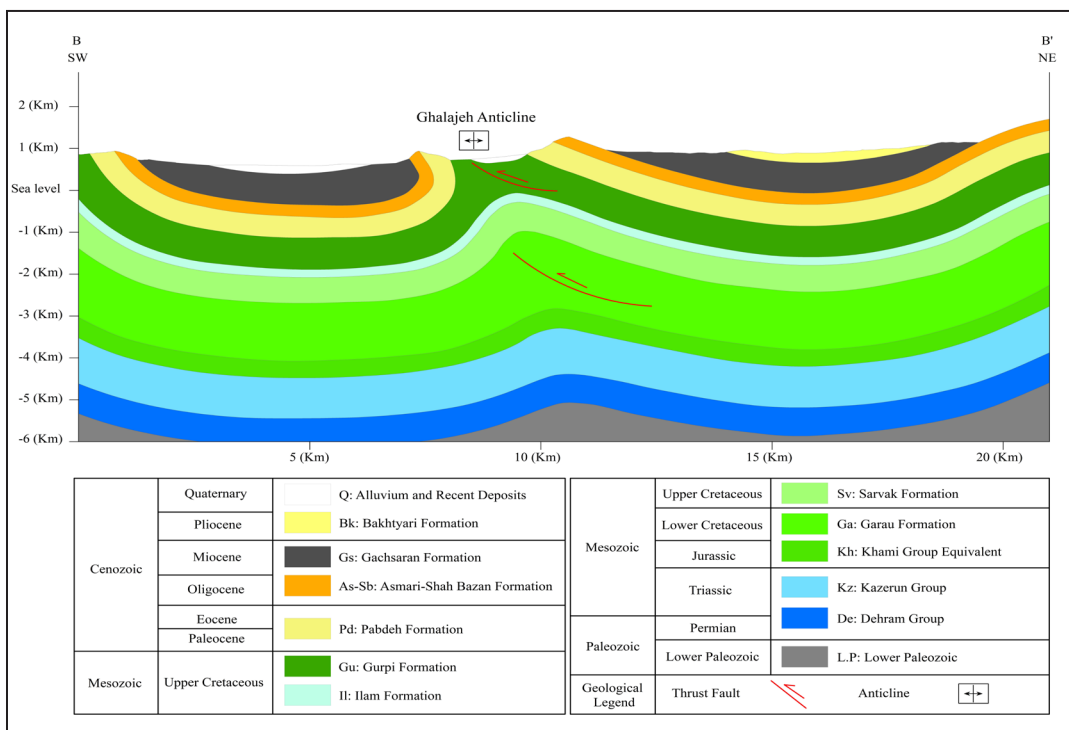


شکل ۵- (a) ترسیم‌های انجام شده برای اندازه‌گیری مشخصه‌های هندسی و (b) تصویر استریوگرام تاقدیس قلاچه در راستای نیمرخ عرضی' AA.

۴-۲-نیمرخ ساختاری' BB'

است (شکل ۷-۶). همچنین در این بخش از منطقه بررسی شده سازند گورپی در منطقه محوری تاقدیس قلاچه به سطح نزدیک شده و راندگی کم‌ژرفای سطحی با ریشه در سازند گورپی باعث دگرگشکلی و برگشته شدن یال جنوبی تاقدیس قلاچه شده است (شکل‌های ۷-۶c و ۸).

این نیمرخ ساختاری ۲۲ کیلومتر در بخش مرکزی و عمود بر راستای تاقدیس قلاچه رسم شده است (شکل ۶). رخمنون سطحی در امتداد این نیمرخ را سازند گورپی در هسته و سازندهای پابده، آسماری و گچساران در یال‌ها را تشکیل می‌دهند (شکل‌های ۷ و ۸). در راستای این نیمرخ شبیه لایه‌ها عادی



شکل ۶- نیمرخ ساختاری' BB' که عمود بر روند تاقدیس قلاچه ترسیم شده است. راندگی‌های تشکیل شده در پوشش رسوبی به همراه سطوح جدايشی باعث دگریختی در ساختارهای چین خورده و برگشته شدن یال جنوبی شده است.



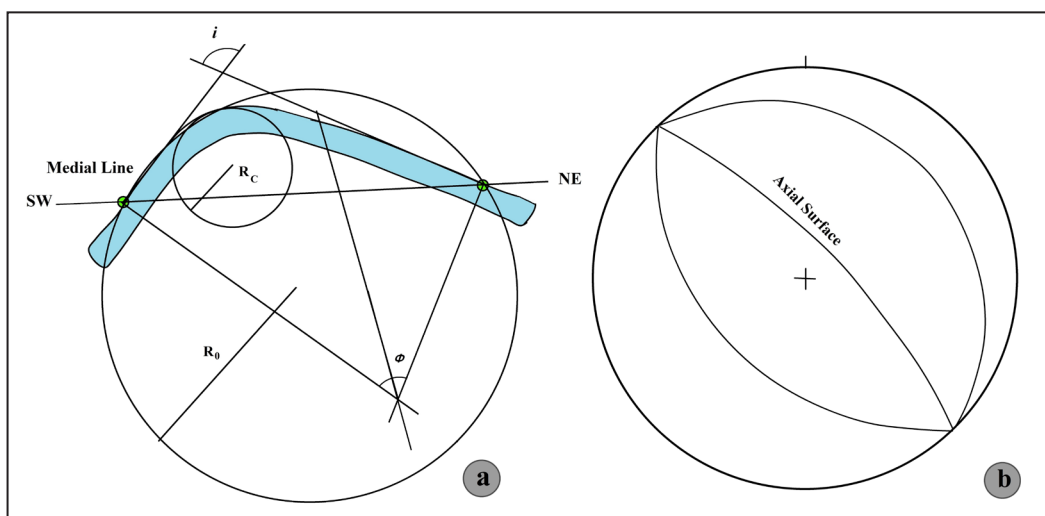
شکل ۷- (a) نمای کلی از یال جنوبی تاقدیس قلاچه همچنین یال شمالی که به راحتی نیز دیده می‌شود، در راستای نیمرخ' BB' (b) یال جنوبی تاقدیس قلاچه، شبیه لایه‌ها در حال عادی شدن؛ (c) شکستنگی‌های موجود در سازند برگشته آسماری یال جنوبی تاقدیس قلاچه.



شکل ۸- (a) گسل عرضی و لایه‌های برگشته سازند آسماری در یال جنوبی تاقدیس قلاچه در امتداد نیمرخ ساختاری 'BB'; (b) صفحه گسل موجود در سازند آسماری یال جنوبی؛ (c) لایه‌بندی آسماری در یال جنوبی برگشته تاقدیس قلاچه.

است (شکل‌های ۹-۹ و b). مقادیر به دست آمده برای زاویه بین بالی نشان می‌دهد که این تاقدیس از نظر فشردگی از نوع چین‌های باز است. محاسبات لازم برای به دست آوردن کندی چین (Bluntness) در این نیمرخ ساختاری نشان می‌دهد که $b=0.1$ و در رده نیمه‌زاویه‌دار قرار دارد. همچنین مقادیر به دست آمده برای نسبت ابعادی این نیمرخ $p=0.25$ است که نشان‌دهنده عريض بودن چین است. مقدار کوتاه‌شدگی به دست آمده از این نیمرخ حدود ۶/۸۰ درصد است (جدول ۲).

افزون بر این راندگی که از سطح جدایش میانی (سازند گرو) منتشر شده باعث دگربریختی و افزایش پهنای این سازند شده است. هندسه چین خوردگی تاقدیس قلاچه در راستای این نیمرخ به دلیل تفاوت شبیه یال جنوبی و یال شمالی از نوع چین‌های جدایشی نامتقارن است. با توجه به پارامترهای هندسی و رسم استریوگرام چین، در امتداد این نیمرخ تاقدیس قلاچه دارای موقعیت محوری ۰/۷۷ (میل/رونده) و شبی سطح محوری ۰/۴۶ (شبی/جهت شبی)



شکل ۹- (a) ترسیم‌های انجام شده برای اندازه‌گیری مشخصه‌های هندسی و (b) تصویر استریوگرام تاقدیس قلاچه در راستای نیمرخ عرضی 'BB'.

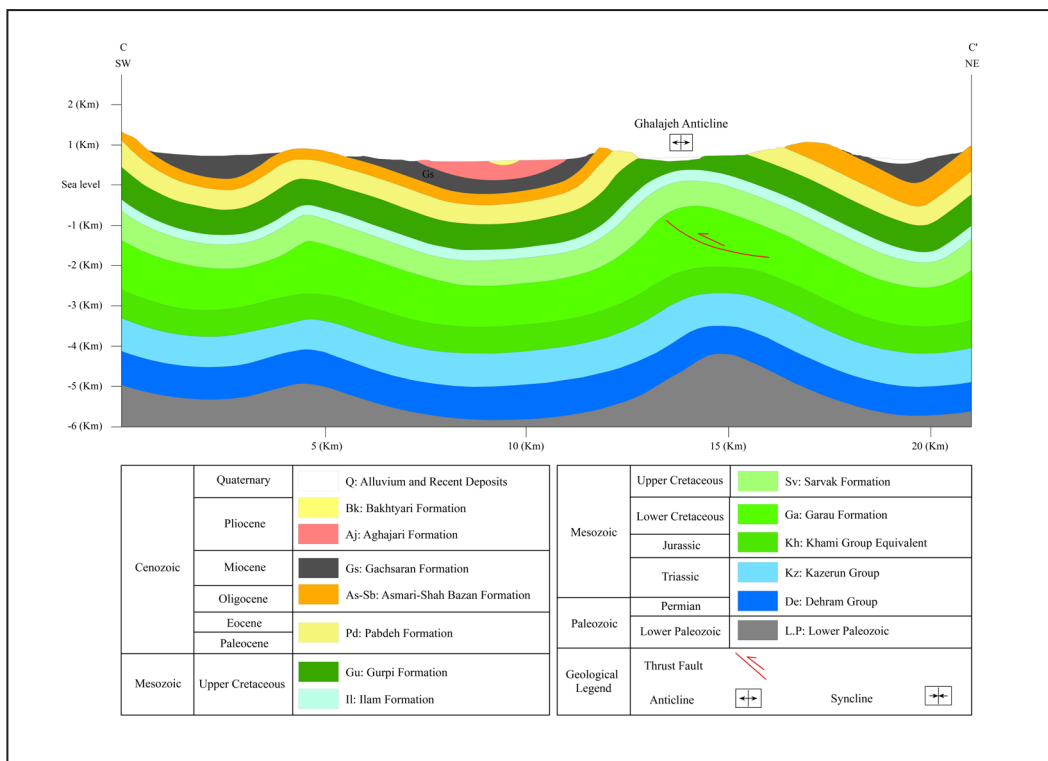
جدول-۲-مشخصات هندسی چین‌های سطحی و زیرسطحی تاقدیس و پارامترهای هندسی لازم برای استفاده در نمودارها.

CC'	BB'	AA'	مقطع
112	104	101	زاویه میان بالی
69	77	85	زاویه چین خوردگی
باز	باز	باز	فسردگی
100	102	107	زاویه تمایل
نامتقارن	نامتقارن	نامتقارن	تقارن
استوانه‌ای	استوانه‌ای	استوانه‌ای	Cylindriy
135/0	136/0	133/0	موقعیت فضایی محور
045/82	046/77	043/75	سطح محوری
1.5	1.7	1.6	A
8.9	12.2	9.7	M
0.16	0.14	0.16	P
عريض	عريض	عريض	
1	1.2	1.6	R _c
4.9	4.1	6	R _ø
0.20	0.29	0.26	b
نیمه‌زاویه‌دار	نیمه‌زاویه‌دار	نیمه‌زاویه‌دار	
5.5	5.7	8.5	L _b
3.8	3.3	4.4	L _f
26	25	24	V _b
43	51	55	V _f
1.58	1.83	2.02	R _L
5.20	6.80	6.25	کوتاه‌شدنی بر حسب نمودار

۳-۴-نیمرخ CC'

در امتداد این نیمرخ تاقدیس قلاچه دارای موقعیت محوری $135/0$ (میل/رونده) و شیب سطح محوری $45/82$ (شیب/جهت شیب) است (شکل ۱۳-a و b). مقادیر به دست آمده برای زاویه بین یالی نشان می‌دهد که این تاقدیس از نظر فشردگی از نوع چین‌های باز است. محاسبات لازم برای به دست آوردن کنده چین (Bluntness) در این نیمرخ ساختاری نشان می‌دهد که $a=0.2$ و $b=0.1$ و در رده نیمه‌زاویه‌دار قرار دارد. همچنین مقادیر به دست آمده برای نسبت ابعادی این نیمرخ $p=0.25$ و $d=0.1$ است که نشان دهنده عريض بودن چین است. هم‌چنین مقدار کوتاه‌شدنی به دست آمده در این نیمرخ $5/20$ درصد است (جدول ۲).

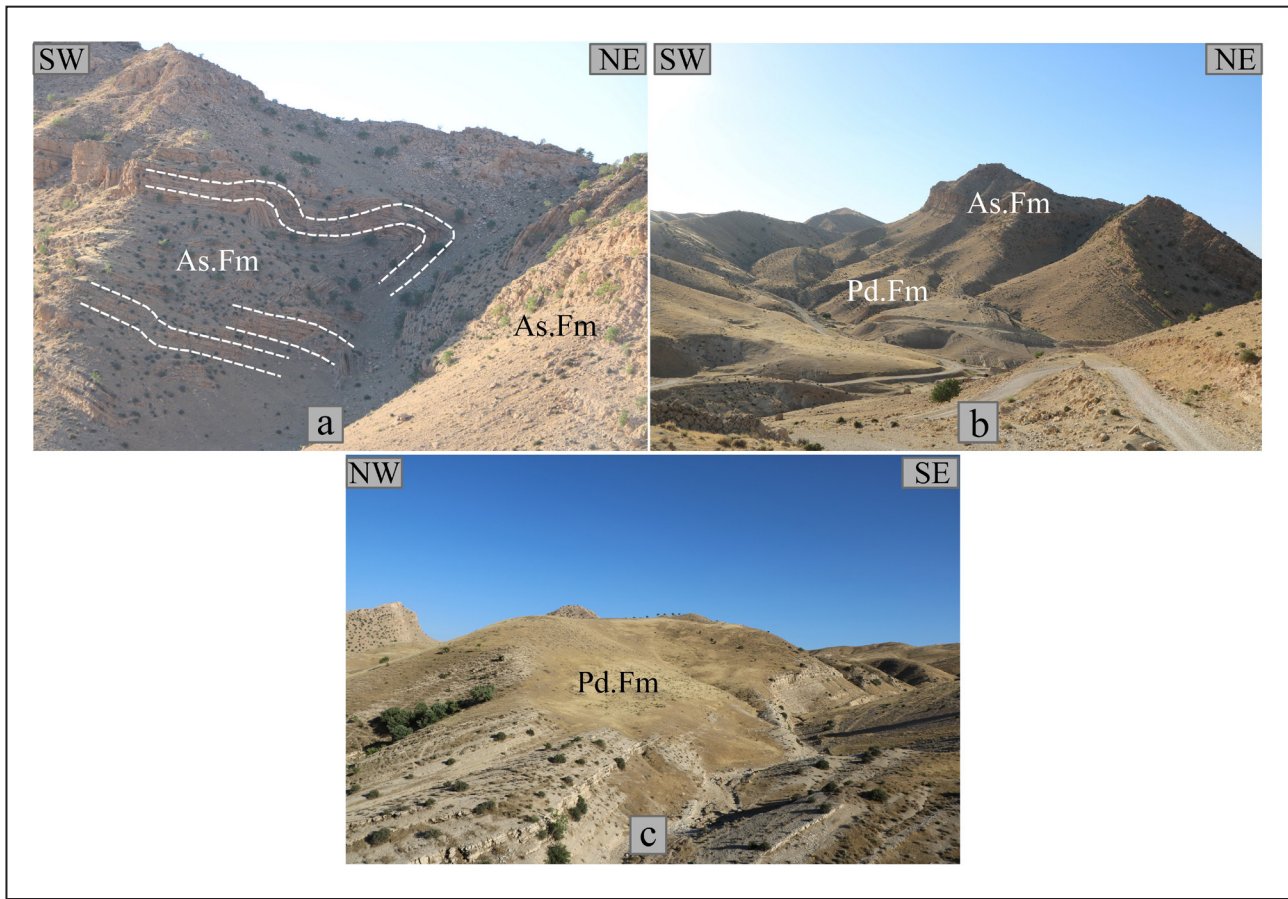
نیمرخ ساختاری CC' با طول 22 کیلومتر عمود بر راستای تاقدیس قلاچه و ناودیس کلاده راز رسم شده است (شکل ۱۰). رخمنون سطحی در هسته تاقدیس را سازند گوربی و سازندهای پابده و آسماری را یالهای تاقدیس تشکیل می‌دهند (شکل‌های ۱۱-a و b و ۱۲-c و d). همچنین ناودیس کلاده راز را سازندهای گچساران و آغازاری تشکیل می‌دهند (شکل ۱۱-d و c). راندگی که در سطح جدایش میانی منشأ گرفته باعث دگرشکلی و افزایش ستبرای سازند گرو شده است. همچنین گسل عرضی باعث ایجاد چین جعبه‌ای و Drag fold در یال شمالي تاقدیس شده است (شکل ۱۲-a). با توجه به پارامترهای هندسی و رسم استریو گرام چین،



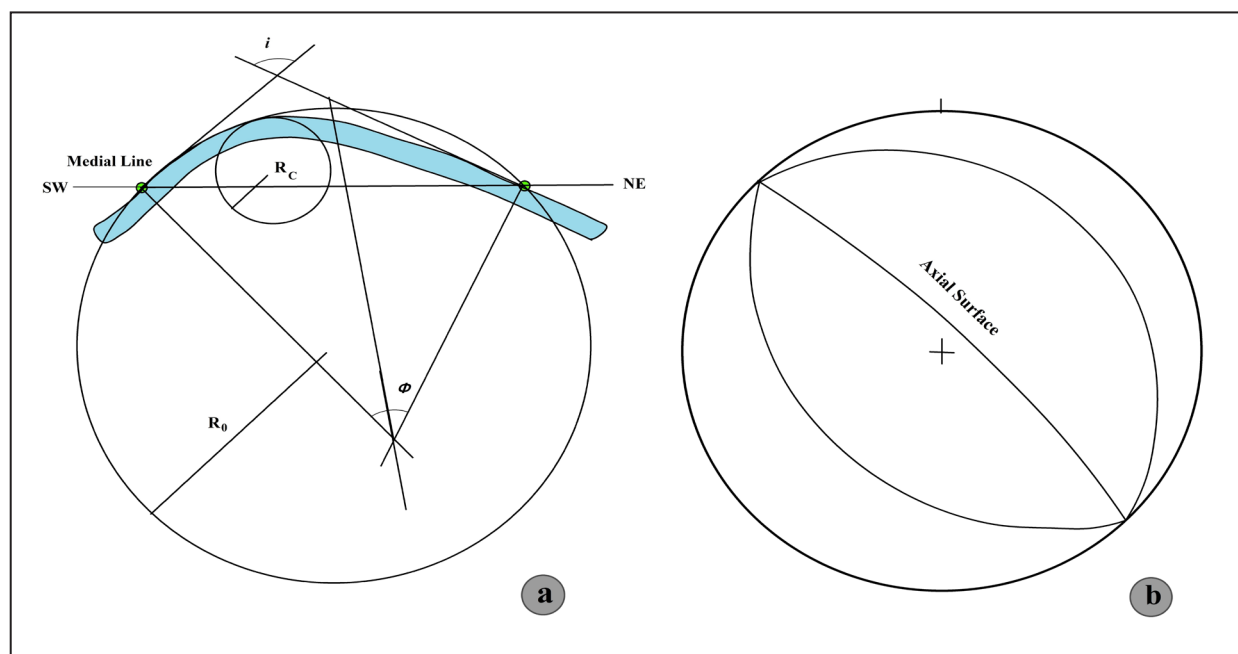
شکل ۱۰- نیم‌خ ساختاری 'CC' که عمود بر روند تاقدیس‌های قلاچه و باباگیر و کلاه دراز رسم شده است. راندگی‌های تشکیل شده در پوشش رسوبی به همراه سطوح جدایشی باعث دگریختن در ساختارهای چین خورده شده است.



شکل ۱۱- (a) هسته تاقدیس قلاچه با رخمنون سازند گوری و سازندهای پابده و آسماری در یال‌های تاقدیس در امتداد نیم‌خ ساختاری 'CC'; (b) یال شمالی تاقدیس قلاچه با رخمنون سازند آسماری و ناویدیس بین تاقدیس‌های قلاچه و دانه خشک با رخمنون سازند گچساران؛ (c) سازند آسماری واقع در یال شمالی پابده و آسماری؛ (c) یال جنوبی تاقدیس قلاچه با رخمنون سازند آسماری و ناویدیس بین تاقدیس‌های قلاچه و دانه خشک. (d) سازند آسماری تاقدیس قلاچه، ناویدیس ایجاد شده بین یال شمالی تاقدیس قلاچه و یال جنوبی تاقدیس دانه خشک.



شکل ۱۲- (a) گسل عرضی و ساختار چین جعبه‌ای و fold Drag در یال شمالی تاقدیس قلاچه که در امتداد نیمرخ CC' تشکیل شده است؛ (b) رخمنون سازند آسماری و پابده در یال شمالی تاقدیس قلاچه؛ (c) مشاهده سازند پابده در یال شمالی تاقدیس قلاچه در امتداد نیمرخ ساختاری CC'.



شکل ۱۳- (a) ترسیم‌های انجام شده برای اندازه‌گیری مشخصه‌های هندسی و (b) تصویر استریوگرام تاقدیس قلاچه در راستای نیمرخ عرضی CC'.

نسبت RL از رابطه زیر محاسبه می‌شود.

$$S = (\text{Calculated Shortening Lb})/10 \quad \text{رابطه ۱}$$

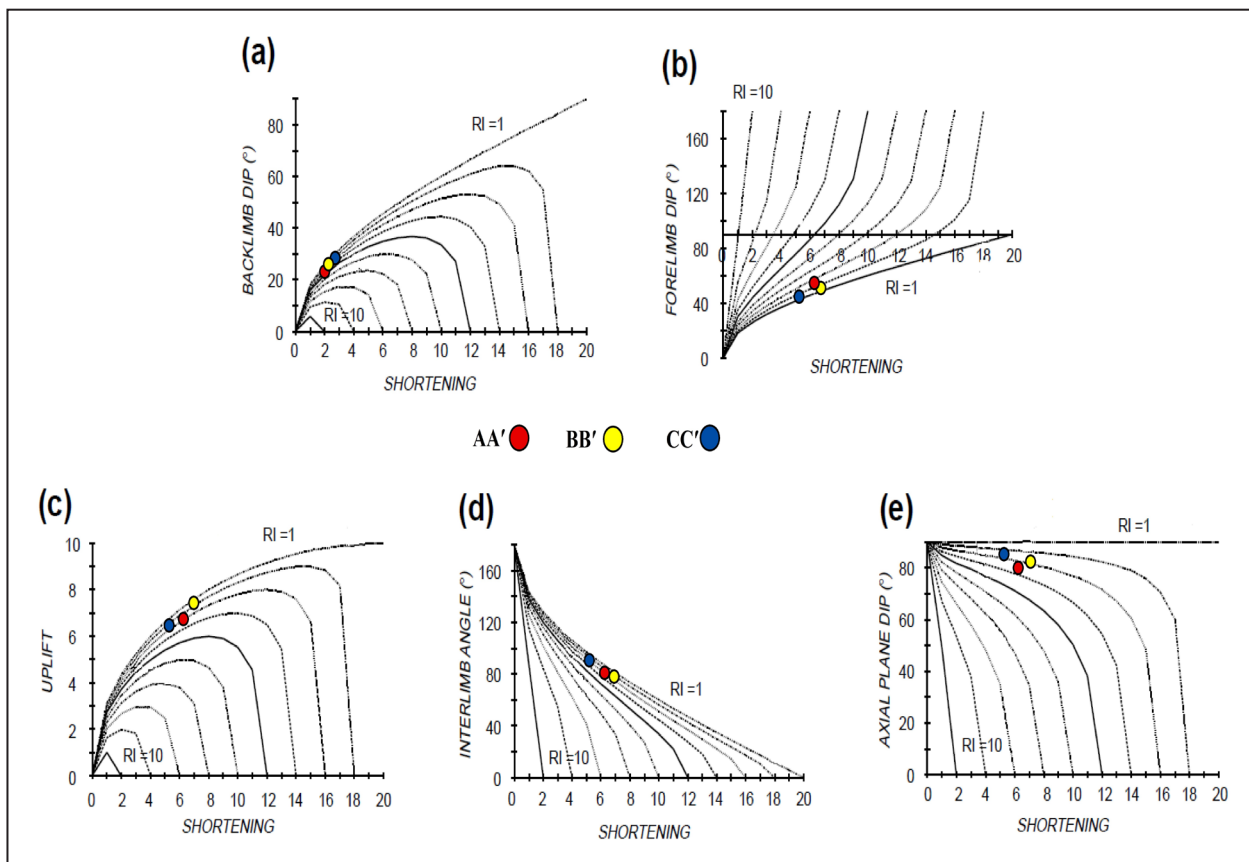
$$RL = \sin vf / \sin vb \quad \text{رابطه ۲}$$

مقدار کوتاه‌شدگی به دست آمده از نمودار باید در رابطه ۱ جایگزین شود تا میزان کوتاه‌شدگی واقعی به دست آید. با توجه به پارامترهای محاسبه شده در جدول ۲ موقعیت تاقدیس قلاچه برای برآورد میزان کوتاه‌شدگی بر روی نمودار (شکل ۱۴) نشان داده شده است.

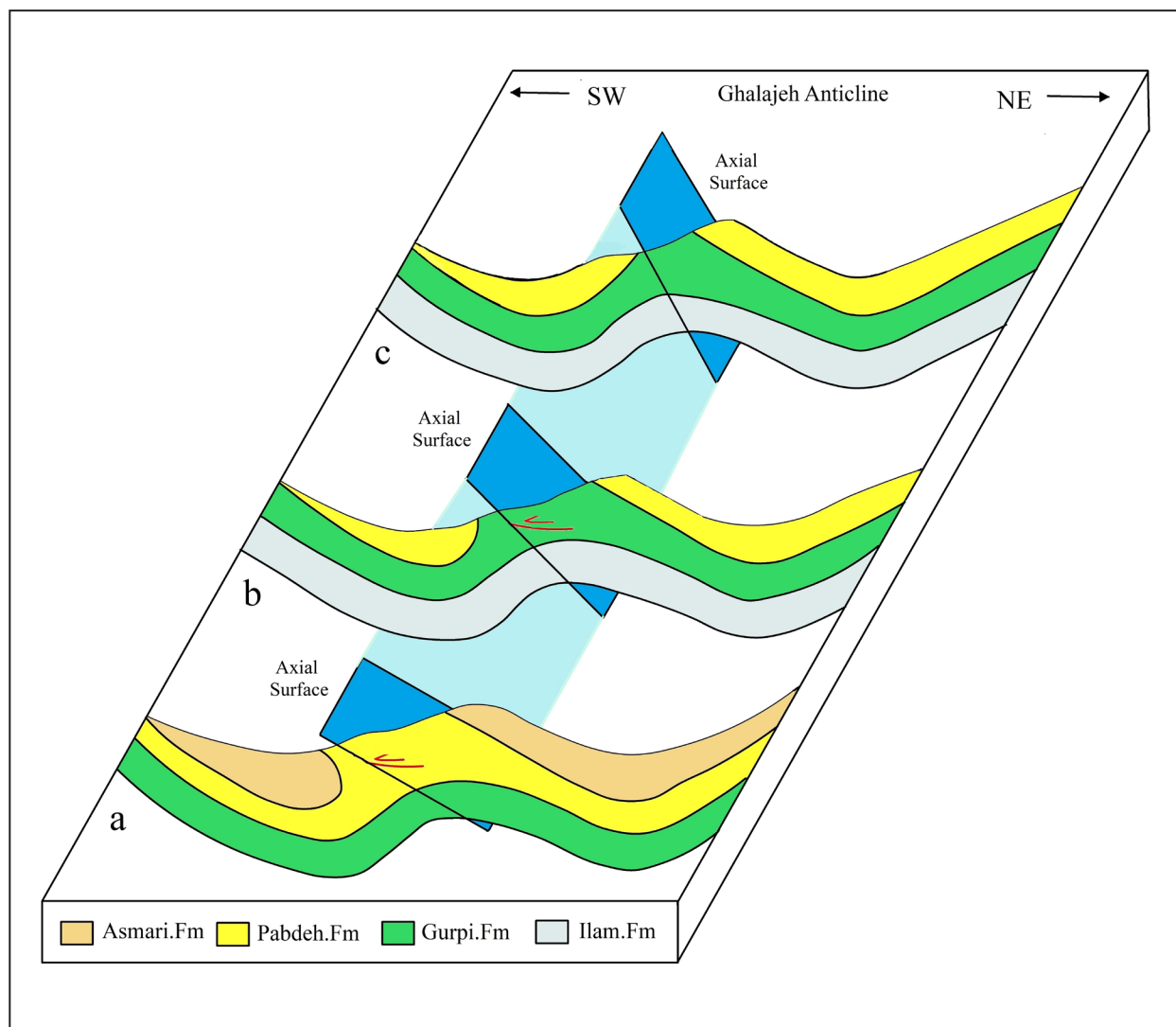
باتوجه به هندسه ساختاری تاقدیس قلاچه، وجود راندگی‌های کوچک سطحی در یال جنوبی تاقدیس باعث برگشتگی سازند آسماری در یال جنوبی در بخش جنوب خاوری تاقدیس شده است و شکستگی‌های کششی عمود بر محور چین در سازند آسماری را تشکیل دادند (شکل‌های ۱-۱۵ و ۳-a و ۳-c). هر چه به سمت مرکز و شمال باختり تاقدیس حرکت کنیم مقدار برگشتگی لایه‌ها کمتر شده و لایه‌ها در یال جنوبی به حالت قائم و سپس نرمال تبدیل شده‌اند. این تغییر شیب لایه‌بندی از برگشت به عادی شدن از لایه‌های شکننده آسماری به لایه‌های پایینی سازندهای پابده و گوربی رسیده است (شکل‌های ۱-۱۵ b و c) که این تغییر شیب باعث ایجاد گسل‌های عرضی می‌شود (شکل ۸-a). منطقه تغییر شیب لایه‌بندی با شکستگی‌های همراه است در منطقه‌ای که شیب لایه‌بندی تقریباً قائم است شکستگی‌های موازی در یال جنوبی ایجاد شده است. در منطقه در حال تبدیل شدن از حالت برگشت به نرمال، ساختارهای فلزی شکل و شکستگی‌های زیادی وجود دارد (شکل ۷-c).

۵- تحلیل هندسی تاقدیس قلاچه با استفاده از نمودارهای پابلت و مک‌کلی (Poblet and McClay, 1996) و تغییر شیب لایه‌بندی تاقدیس

برای بررسی هندسه ساختاری و کینماتیکی تاقدیس قلاچه سه نیمرخ ساختاری عرضی و عمود بر محور تاقدیس رسم شده است. دگرگشکی کلی منطقه به وسیله گسل‌های راندگی و چین خوردگی‌های مرتبط کنترل شده که گسل‌های راندگی در سطح قابل مشاهده هستند. سازندهای گرو و گوربی از سطوح جداش اساسی در منطقه موردنظر مطالعه هستند و تاقدیس از نوع چین‌های جداشی است. همچنین در این پژوهش با استفاده از روش‌های اندازه‌گیری پارامترهای هندسی یک سطح چین خوردگی و رسم نمودار استریوگرافیک چین‌های مربوطه مقادیر عددی در جدول ۲ نشان داده شده است. با توجه به داده‌های به دست آمده، تاقدیس قلاچه از نوع چین‌های استوانه‌ای و نامتقارن است و عدم تقارن آن به دلیل تفاوت در شیب و طول یال‌ها است. با توجه به اهمیت چین خوردگی جداشی در کمرنگ چین خوردگی رانده زاگرس نمودارهای مختلفی برای تحلیل جنبشی و هندسی این چین خوردگی‌ها را ایله شده است و باور دارند که چنانچه میزان شیب یال‌های تاقدیس و نسبت سینوس آنها اندازه‌گیری شود می‌تواند برای محاسبه میزان کوتاه‌شدگی لایه مقاوم بالای لایه جداشی شکل پذیر که چین در آن توسعه یافته است، استفاده شود. در واقع این نمودارها با استفاده از پارامترهای هندسی چین خوردگی، کوتاه‌شدگی، بالا‌آمدگی محاسبه می‌شوند (Poblet and McClay, 1996). بنابراین پارامترهایی مثل زاویه بین یالی، زاویه چین خوردگی، طول یال جلویی، طول یال پشتی، شیب یال جلویی، شیب یال پشتی و نسبت RL برای محاسبه کوتاه‌شدگی مورد نیاز است (جدول ۱). برای به دست آوردن میزان کوتاه‌شدگی واقعی باید مقدار کوتاه‌شدگی که به دست آمده از نمودار را بر مبنای طول پس یال بهنجار کرد. مقدار کوتاه‌شدگی واقعی و همچنین



شکل ۱۴- نمودارهای تعیین پارامترهای هندسی چین‌های جداشی (Poblet and McClay, 1996). منحنی‌های نمودارها متنطبق بر پارامترهای RL به ترتیب ۱، ۱/۱، ۱/۲۵، ۱/۴۳، ۱/۴۷، ۲/۳۳، ۲/۵۰ و ۱۰ هستند. موقعیت تاقدیس قلاچه براساس پارامترهای هندسی آن بر روی نمودار نشان داده شده است.



شکل ۱۵- تغییر شیب لایه‌بندی از برگشته به عادی و تغییر شیب سطح محوری.

۶- نتیجه‌گیری

نامتران و استوانه‌ای است. همچنین شیب بیشتر یال‌جلویی از یال‌پشتی و طول کمتر یال‌جلویی از یال‌پشتی نامترانی بودن چین را تأیید می‌کند. از لحاظ فشردگی، چین در گستره مورد مطالعه از نوع باز است. نسبت اعادی در هر سه نیمرخ ساختاری در یک محدوده نزدیک به هم بوده و در بررسی‌های انجام شده در گروه چین عریض قرار دارد. اندازه‌گیری پارامتر کندری چین در نیمرخ‌های ساختاری در رده نیمه‌زاویدار را نشان می‌دهد. در نیمرخ‌های ساختاری رسم شده گسل‌های راندگی که از سطح جدایش میانی (سازند گرو) منشأ گرفته باعث تغییر سمترا در واحدهای نامقاوم گرو شده است. فعالیت راندگی‌های سطحی در این تاقدیس باعث برگشته شدن یال جنوبی تاقدیس شده است.

تاقدیس قلاچه با راستای شمال باخته- جنوب خاور در شمال زیرپهنه لرستان قرار دارد. با توجه به الگوهای چن‌های مرتبط با گسل، تجزیه و تحلیل پارامترهای هندسی و بررسی نیمرخ‌های ساختاری تاقدیس قلاچه از نوع چین‌های جدایشی است و ساختار این تاقدیس دو سطح جدایشی ۱- سازند پابده به عنوان سطح جدایش بالایی؛ ۲- سازند شیلی گرو نیز به عنوان سطح جدایش میانی معرفی شده است که باعث دگرگشکلی گستره مورد مطالعه نیز شده است. عملکرد سطح جدایش بالایی در زمان دگرگشکلی پیش‌رونده باعث جابه‌جا شدن محور تاقدیس به سمت جنوب باخته شده باشد. با توجه به تصاویر صحرایی و اندازه‌گیری پارامترهای هندسی برروی سه نیمرخ ساختاری رسم شده عمود بر روند تاقدیس قلاچه، این تاقدیس یک چین

References

- Alavi, M., 2007. Structures of the Zagros fold-thrust belt in Iran. *American journal of science*. 307, 1064–1095. <http://dx.doi.org/10.2475/09.2007.02>.
- Allen, M., and Talebian, M., 2011. Structural variation along the Zagros and the nature of the Dezful Embayment. *Geological Magazine*, 148, 911-924. <https://doi.org/10.1017/S0016756811000318>.
- Bahroodi, A., Hemin, A., and Koyi, ., 2004. Tectono-sedimentary framework of the Gachsaran Formation in the Zagros foreland basin. *Marine and Petroleum Geology* 21.10, 1295-1310. <http://dx.doi.org/10.1016%2Fj.marpetgeo.2004.09.001>.
- Berberian, M., 1995. Master "Blind" thrust faults hidden under the Zagros folds: active basement tectonics and surface morphotectonics. *Tectonophysics* 241, 193–224. [https://doi.org/10.1016/0040-1951\(94\)00185-C](https://doi.org/10.1016/0040-1951(94)00185-C).
- Blanc, E. P., Allen, M. B., Inger, S., and Hassani, H., 2003. Structural styles in the Zagros simple folded and folding style of the Lurestan region in the Zagros FoldeThrust Belt, Iran. *J. Geol. Soc. Lond.* 166, 1101-1115. <http://dx.doi.org/10.1144/0016-764902-110>.
- Faghih, A., Samani, B., Kusky, T., Khabazi, S., and Roshanak, R., 2012. Geomorphologic assessment of relative tectonic activity in the maharlou lake basin, Zagros mountains of Iran. *Journal of Geology* 471, 30-40. <https://doi.org/10.1002/gj.1329>.
- Farzipour-Saein, A., Yassaghi, A., Sherkati, S., and Koyi, H., 2009. basin evolution of the Lurestan region in the Zagros fold and thrust belt", Iran, *Journal of Petroleum Geology*, 5-19. <https://doi.org/10.1111/j.1747-5457.2009.00432.x>.
- Ghavidel-Syooki, M., 2001. Biostratigraphy and palaeogeography of Late Ordovician and Early Silurian chitinozoans from the Zagros Basin, Southern Iran. *An International Journal of Paleobiology*. 15, 29-39. <https://doi.org/10.1080/10292380109380580>.
- Hessami, K., Koyi, H. A., Talbot, C. J., Tabasi, H., and Shabanian, E., 2001. Progressive unconformities within an evolving foreland fold-and-thrust belt, Zagros Mountains: Geological Society, London, Vol: 158, p: 969-981. <https://doi.org/10.1144/0016-764901-007>.
- Homke, S., Vergés, J., Garcés, M., Emami, H., and Karpuz, R., 2004. Magnetostratigraphy of Miocene–Pliocene Zagros foreland deposits in the front of the Push-e Kush Arc (Lurestan Province, Iran): *Earth and Planetary Science Letters*, v. 225, p.397-410. International, v. 156, p. 506-526. <http://dx.doi.org/10.1016/j.epsl.2004.07.002>.
- James, G. A., and Wynd, J. G., 1965. Stratigraphic Nomenclature of Iranian Oil Consortium Agreement Area: *Bulletin of the American Association of Petroleum Geologists*, Vol: 49, p: 2182-2245. <https://doi.org/10.1306/A663388A-16C0-11D7-8645000102C1865D>.
- McQuarrie, N., 2004. Crustal scale geometry of the Zagros fold-thrust belt, Iran. *Journal of Structural Geology* 519-535. <http://dx.doi.org/10.1016/j.jsg.2003.08.009>.
- McQuarrie, N., and Van Hinsbergen, D. J., 2013. Retrodeforming the Arabia-Eurasia collision zone: Age of collision versus magnitude of continental subduction. *Geology* 315-318. <https://doi.org/10.1130/G33591.1>.
- Motiei, H., 1994. Geology of Iran: Stratigraphy of Zagros. *Geological Survey of Iran Publication*, Tehran, 583p.
- Moutherneau, F., Lacombe, O., and Vergès, J., 2012. Building the zagros collisional orogeny: Timing, strain, distribution and the dynamics of Arabia/Eurasia plate convergence, *Tectonophysics* 532-535, 27-60. <http://dx.doi.org/10.1016%2Fj.tecto.2012.01.022>.
- Poblet, J. A., and McClay, K. R., 1996. Geometry and kinematics of sin-gle layer detachment folds. *AAPG Bulletin*, 80, 1085-1109. <https://doi.org/10.1306/64ed8ca0-1724-11d7-8645000102c1865d>.
- Sarkarinejad, K., Faghih, A., and Grasemann, B., 2008. Transpressional deformations within the Sanandaj-Sirjan Metamorphic Belt (Zagros Mountains, Iran). *Journal of Structural Geology*, 30, 818-826. <http://dx.doi.org/10.1016%2Fj.jsg.2008.03.003>.
- Sherkati, S., Letouzey, J., and Frizon de Lomotte, D., 2006. Central Zagros fold-thrust belt Iran: New insights from seismic data, field observation, and sandbox modeling. *Tectonics* TC4007. <https://doi.org/10.1029/2004TC001766>.
- Szabo, F., and Kheradpir, A., 1978. Permian and Triassic stratigraphy, Zagros basin, south-west Iran. *Journal of Petroleum Geology*, 1, 2, 57-82. <https://doi.org/10.1111/j.1747-5457.1978.tb00611.x>.
- Tavani, S., Parente, M., Puzone, F., Corradetti, A., Gharabeigli, Gh., Valinejad, M., Morsalnejad, D., and Mazzoli, S., 2018. The seismogenic fault system of the 2017 Mw 7.3 Iran-Iraq earthquake: constraints from surface and subsurface data, cross-section balancing, and restoration: *Solid Earth*, 9, 821–831. <https://doi.org/10.5194/se-9-821-2018>, 2018.
- Vernant, P., Nilforoushan, F., Hatzfeld, D., Abbassi, M.R., Vigny, C., Masson, F., Nankali, H.R., Martinod, J., Ashtiani, A., Bayer, R., Tavakoli, F., and Chéry, J., 2004. Present-day deformation and plate kinematics in the Middle East constrained by GPS measurements in Iran and northern Oman. *Geophys. J. Int.* 157, 381–398. <https://doi.org/10.1111/j.1365-246X.2004.02222.x>.

Original Research Paper

Effect of deep and surface thrust faults on structural geometry of the Ghalajeh anticline, Lurestan, West Zagros

Reza Alipoor^{1*}, Ali Jahangiri¹ and Zahra Ghasemi¹

¹Department of Geology, Faculty of Science, Bu-Ali Sina University, Hamedan, Iran

ARTICLE INFO

Article history:

Received: 2021 December 28

Accepted: 2022 February 26

Available online: 2022 December 22

Keywords:

Folding

Detachment

Structural cross-section

Garu

Thrust

ABSTRACT

The Ghalajeh anticline with about 60 km length and NW-SE trend is located in Lurestan sub-zone and the Zagros fold and thrust belt. Geometry and kinematic of the folds of this zone are controlled by thrust faults and detachment levels. In this research, geometry and deformational style analysis of the Ghalajeh anticline and the role of the detachment levels on folding style have been investigated interpreting well data and construction of three cross-sections and calculation of geometric parameters. The structure of this anticline is affected by two detachment levels, which include the Pabdeh and Garu formations as the upper and middle detachment levels. Detachment levels and deep-seated and surface thrust faults in the southwestern limb affected the folding geometry and have caused the high thickness of the middle detachment level and inversion of the southern limb which waning southwestern part of the anticline, and the dip of the layers are normal which in turn caused fracturing. Analysis of geometrical parameter along the Ghalajeh anticline indicate that this anticline is an asymmetrical, cylindrical fold is an open half-angle round fold.

* Corresponding author: Reza Alipoor; E-mail: rezaalipoor116@gmail.com

E-ISSN: 2645-4963; Copyright©2021G.S. Journal & the authors. All rights reserved.

 doi: 10.22071/GSJ.2022.317171.1961



dor: 10.1001.1.10237429.1401.32.4.6.2



This is an open access article under the by-nc/4.0/ License (<https://creativecommons.org/licenses/by-nc/4.0/>)